

《高等量子力学》第6讲

8) Casimir 效应

基态能（真空能、零点能）有无观测效应？

考虑量子电磁场的能量。电磁场是各种频率 ω_k （能量 $\hbar\omega_k$ ）的简谐振动的集合，空间单位体积内电磁场的总能量是

$$\varepsilon = 2 \int \frac{d^3k}{(2\pi)^3} \sum_{n=0}^{\infty} \left(n + \frac{1}{2} \right) \hbar\omega_k,$$

其中 $\omega_k = ck$ ， k 是波数， n 是能量为 $\hbar\omega_k$ 的光子的数目，2 是独立偏振的方向。

真空是无激发的态， $n=0$ ，真空能量

$$\varepsilon = \int \frac{d^3k}{(2\pi)^3} \hbar\omega_k$$

为无穷大。一般将它作为激发的本底扣除掉。问题是它本身是否有可观测效应？

在电磁场中放入两块平行的板，面积为 L^2 ， L 足够大，距离为 $a \ll L$ 。边界条件使得在 a 方向的波数受到限制， $k_z = \frac{n\pi}{a}$ ，在横方向由于 L 很大，无限

制。利用 $\int_{-\infty}^{\infty} \frac{dk_z}{2\pi} = 2 \int_0^{\infty} \frac{dk_z}{2\pi} = \frac{1}{a} \sum_n$ ，在两板之间的体积 L^2a 内的真空能量为

$$E(a) = L^2 a \varepsilon = L^2 \hbar c \int \frac{d^2k}{(2\pi)^2} \sum_{n=0}^{\infty} \sqrt{k_{\perp}^2 + \left(\frac{n\pi}{a} \right)^2}。$$

放入两块平行板前后真空能量的变化为

$$\Delta E(a) = E(a) - E_0(a) = L^2 \hbar c \int \frac{d^2k}{(2\pi)^2} \left(\sum_{n=0}^{\infty} - \int_0^{\infty} dn \right) \sqrt{k_{\perp}^2 + \left(\frac{n\pi}{a} \right)^2}$$

这个变化使得两板之间每单位面积上的力

$$F(a) = -\frac{1}{L^2} \frac{\partial \Delta E(a)}{\partial a}。$$

注意 $E(a)$ 与 $E_0(a)$ 都是发散的（真空发散），但 $\Delta E(a)$ 是有限的。经过计算（见一般量子力学教科书，例如苏汝铿和张永德的书），有

$$F(a) = -\frac{\hbar c \pi^2}{240 a^4}。$$

这个插入平行板后由于真空能量的变化（涨落）导致的吸引力以及与 a 的关系于 1958 年被实验观测到。这是真空能量的变化导致的可观测效应。

9) Heisenberg 绘景中的力学量时间演化

忽略下标 H ，由 Heisenberg 绘景中的运动方程，有

$$\frac{d\hat{a}}{dt} = \frac{1}{i\hbar} [\hat{a}, \hat{H}] = -i\omega\hat{a}, \quad \frac{d\hat{a}^+}{dt} = \frac{1}{i\hbar} [\hat{a}^+, \hat{H}] = i\omega\hat{a}^+,$$

解为 $\hat{a}(t) = \hat{a}(0)e^{-i\omega t}$, $\hat{a}^+(t) = \hat{a}^+(0)e^{i\omega t}$,

注意： $\hat{a}^+(t)\hat{a}(t) = \hat{a}^+(0)\hat{a}(0)$

使得粒子数表象的基矢 $|n\rangle$ 与时间无关。

由

$$\hat{x}(t) = \sqrt{\frac{\hbar}{2m\omega}} (\hat{a}(t) + \hat{a}^+(t)) = \hat{x}(0) \cos \omega t + \frac{1}{m\omega} \hat{p}(0) \sin \omega t,$$

$$\hat{p}(t) = i\sqrt{\frac{\hbar m\omega}{2}} (\hat{a}(t) - \hat{a}^+(t)) = \hat{p}(0) \cos \omega t - m\omega \hat{x}(0) \sin \omega t,$$

虽然 $\hat{x}(t)$, $\hat{p}(t)$ 有振荡形式，但它们的平均值

$$\langle n | \hat{x}(t) | n \rangle = \langle n | \hat{x}(0) | n \rangle \cos \omega t + \frac{1}{m\omega} \langle n | \hat{p}(0) | n \rangle \sin \omega t = 0,$$

$$\langle n | \hat{p}(t) | n \rangle = \langle n | \hat{p}(0) | n \rangle \cos \omega t - m\omega \langle n | \hat{x}(0) | n \rangle \sin \omega t = 0$$

不随时间振荡。注意，此处用到了

$${}_H \langle n | \hat{x}(0) | n \rangle_H = {}_S \langle n | \hat{x}_S | n \rangle_S = 0, \quad {}_H \langle n | \hat{p}(0) | n \rangle_H = {}_S \langle n | [\hat{p}_S | n \rangle_S = 0。$$

4. 谐振子的相干态

在谐振子的能量本征态 $|n\rangle$,

$$\langle n|\hat{x}|n\rangle = \langle n|\hat{p}|n\rangle = 0$$

$$\langle n|\hat{x}^2|n\rangle = \frac{\hbar}{2m\omega}(2n+1), \quad \langle n|\hat{p}^2|n\rangle = \frac{\hbar m\omega}{2}(2n+1)$$

$$\begin{aligned} \langle (\Delta x)^2 \rangle \langle (\Delta p)^2 \rangle &= (\langle \hat{x}^2 \rangle - \langle \hat{x} \rangle^2) (\langle \hat{p}^2 \rangle - \langle \hat{p} \rangle^2) \\ &= \langle \hat{x}^2 \rangle \langle \hat{p}^2 \rangle = \frac{\hbar^2}{4}(2n+1)^2 \geq \frac{\hbar^2}{4} \end{aligned}$$

能否找到这样的态，它最接近经典态？这就是下面要讨论的相干态 $|\alpha\rangle$ ，是下降算符的本征态，

$$\hat{a}|\alpha\rangle = \alpha|\alpha\rangle,$$

注意：下降算符 \hat{a} 不是厄米算符，本征值 α 一般是复数。

1) 相干态满足最小不确定关系

由 $\hat{a}|\alpha\rangle = \alpha|\alpha\rangle$, $\langle \alpha|\hat{a}^\dagger = \langle \alpha|\alpha^*$,

有
$$\langle \alpha|\hat{x}|\alpha\rangle = \sqrt{\frac{\hbar}{2m\omega}} \langle \alpha|\hat{a}^\dagger + \hat{a}|\alpha\rangle = \sqrt{\frac{\hbar}{2m\omega}} (\alpha^* + \alpha),$$

$$\langle \alpha|\hat{x}^2|\alpha\rangle = \frac{\hbar}{2m\omega} \left(1 + (\alpha^* + \alpha)^2 \right),$$

$$\langle \alpha|\hat{p}|\alpha\rangle = -i\sqrt{\frac{\hbar m\omega}{2}} (\alpha - \alpha^*),$$

$$\langle \alpha|\hat{p}^2|\alpha\rangle = \frac{\hbar m\omega}{2} \left(1 - (\alpha - \alpha^*)^2 \right),$$

$$\langle (\Delta x)^2 \rangle \langle (\Delta p)^2 \rangle = (\langle \hat{x}^2 \rangle - \langle \hat{x} \rangle^2) (\langle \hat{p}^2 \rangle - \langle \hat{p} \rangle^2) = \frac{\hbar^2}{4},$$

故相干态 $|\alpha\rangle$ 满足最小不确定关系，是最接近经典态的量子态。

2) 相干态的展开

将相干态 $|\alpha\rangle$ 按能量本征态展开,

$$|\alpha\rangle = \sum_n c_n |n\rangle, \quad c_n = \langle n|\alpha\rangle$$

由
$$|n\rangle = \frac{1}{\sqrt{n!}} (\hat{a}^+)^n |0\rangle$$

$$c_n^* = \langle \alpha|n\rangle = \frac{1}{\sqrt{n!}} \langle \alpha|(\hat{a}^+)^n |0\rangle = \frac{(\alpha^*)^n}{\sqrt{n!}} \langle 0|\alpha\rangle^*$$

$$c_n = \frac{\alpha^n}{\sqrt{n!}} \langle 0|\alpha\rangle = \frac{\alpha^n}{\sqrt{n!}} c_0$$

$$|\alpha\rangle = c_0 \sum_n \frac{\alpha^n}{\sqrt{n!}} |n\rangle$$

由 $|\alpha\rangle$ 的归一化,

$$1 = \langle \alpha|\alpha\rangle = \sum_n |c_n|^2 = |c_0|^2 \sum_n \frac{|\alpha|^{2n}}{n!} = |c_0|^2 e^{|\alpha|^2},$$

$$c_0 = e^{-|\alpha|^2/2},$$

故

$$|\alpha\rangle = \sum_n e^{-|\alpha|^2/2} \frac{\alpha^n}{\sqrt{n!}} |n\rangle.$$

3) 谐振子的基态是相干态

对应基态 $|0\rangle$, 有

$$\hat{a}|0\rangle = 0 = 0|0\rangle,$$

故 $|0\rangle$ 是下降算符的本征态, 本征值=0。

4) 本征值的时间演化

在 Heisenberg 绘景,

$$\hat{a}(t) = \hat{a}(0)e^{-i\omega t},$$

$$\hat{a}(t)|\alpha\rangle = \hat{a}(0)e^{-i\omega t}|\alpha\rangle = \alpha e^{-i\omega t}|\alpha\rangle$$

故本征值 $\alpha(t) = \alpha e^{-i\omega t}$ 。

5. 坐标表象的 *Schroedinger* 方程与 *WKB* 近似

抽象态 $|\psi, t\rangle$,

Schroedinger 方程
$$i\hbar \frac{\partial}{\partial t} |\psi, t\rangle = \hat{H} |\psi, t\rangle.$$

左乘以坐标算符 \hat{x} 的本征矢 $\langle \vec{x} |$, 由于本征态在 *Schroedinger* 绘景中与时间无关, 有

$$i\hbar \frac{\partial}{\partial t} \langle \vec{x} | \psi, t \rangle = \langle \vec{x} | \hat{H} | \psi, t \rangle = \int d\vec{x}' \langle \vec{x} | \hat{H} | \vec{x}' \rangle \langle \vec{x}' | \psi, t \rangle$$

设
$$\hat{H} = \frac{\hat{p}^2}{2m} + V(\hat{x})$$

因为
$$\langle \vec{x} | \hat{H} | \vec{x}' \rangle = \delta(\vec{x} - \vec{x}') \left(-\frac{\hbar^2}{2m} \nabla^2 + V(\vec{x}) \right)$$

故
$$i\hbar \frac{\partial}{\partial t} \langle \vec{x} | \psi, t \rangle = \left(-\frac{\hbar^2}{2m} \nabla^2 + V(\vec{x}) \right) \langle \vec{x} | \psi, t \rangle,$$

$\psi(\vec{x}, t) = \langle \vec{x} | \psi, t \rangle$ 称为波函数, 这就是坐标表象的 *Schroedinger* 方程。

1) 定态 *Schroedinger* 方程

令
$$\psi(\vec{x}, t) = \varphi(\vec{x})T(t)$$

代入 *Schroedinger* 方程, 如果 \hat{H} 不含时间, *Schroedinger* 方程退耦为两个方程, 其中关于 T 的方程的解有

$$T(t) = e^{-\frac{i}{\hbar}Et},$$

E 和 $\varphi(\vec{x})$ 由另一个方程, 即能量本征方程确定,

$$\left(-\frac{\hbar^2}{2m} \nabla^2 + V(\vec{x}) \right) \varphi_E(\vec{x}) = E \varphi_E(\vec{x}),$$

定态 $\psi_E(\vec{x}, t) = \varphi_E(\vec{x}) e^{-\frac{i}{\hbar}Et}。$

对于束缚态, 束缚条件

$$\lim_{|\vec{x}| \rightarrow \infty} \varphi_E(\vec{x}) \rightarrow 0$$

导致 E 为分离值。

定态只是 \hat{H} 不含时间时 *Schroedinger* 方程的特解, 一般解是定态的线性迭加

$$\psi(\vec{x}, t) = \sum_E c_E \psi_E(\vec{x}, t)。$$

2) 波函数的几率解释

单位时间单位体积内发现粒子的几率密度

$$\rho(\vec{x}, t) = |\psi(\vec{x}, t)|^2 = \psi^*(\vec{x}, t) \psi(\vec{x}, t),$$

当 $V(\vec{x})$ 是实函数时, *Schroedinger* 方程可以写成连续性方程的形式

$$\frac{\partial}{\partial t} \rho(\vec{x}, t) + \nabla \cdot \vec{j}(\vec{x}, t) = 0,$$

$$\vec{j}(\vec{x}, t) = -\frac{i\hbar}{2m} \left(\psi^*(\vec{x}, t) \nabla \psi(\vec{x}, t) - \psi(\vec{x}, t) \nabla \psi^*(\vec{x}, t) \right)$$

\vec{j} 的物理意义是什么? 将连续性方程对有限空间积分:

$$\int_V d^3\vec{r} \frac{\partial}{\partial t} \rho(\vec{r}, t) + \int_V d^3\vec{r} \nabla \cdot \vec{j}(\vec{r}, t) = 0,$$

$$\frac{d}{dt} \int_V d^3\vec{r} \rho(\vec{r}, t) = - \int_{\vec{S}} d\vec{S} \cdot \vec{j}(\vec{r}, t)$$

定域几率守恒：区域 V 内几率的变化=流出面积 \vec{S} 的几率，故称 \vec{j} 为几率流密度。若对整个空间积分：

$$\frac{d}{dt} \int_{\infty} d^3\vec{r} \rho(\vec{r}, t) = - \int_{\infty} d\vec{S} \cdot \vec{j}(\vec{r}, t) = 0,$$

故 $\int_{\infty} d^3\vec{r} \rho(\vec{r}, t)$ 与时间无关，是一常数。

意味着

- a) 总几率守恒，无粒子的产生与消灭，*Schroedinger* 方程是非相对论的；
- b) 若波函数是归一的，则归一化与时间无关。*Schroedinger* 方程保证了归一性不随时间而变化；
- c) 若 V 是复函数，几率不守恒，可以等效地描述粒子的产生与消灭。

3) 定态方程的 *WKB* 近似

可以严格求解的 *Schroedinger* 方程很少。将 *Schroedinger* 方程按照 \hbar 进行展开，逐级近似求解的方法称为 *WKB* 近似 (*Wentzel, Kramers, Brillouin*)。

定态波函数

$$\psi(x, t) = \varphi(x) e^{-\frac{i}{\hbar} Et} \equiv e^{\frac{i}{\hbar} s(x)} e^{-\frac{i}{\hbar} Et} = e^{\frac{i}{\hbar} (s(x) - Et)},$$

代入定态方程

$$\left(-\frac{\hbar^2}{2m} \partial_x^2 + V(x) \right) \psi(x, t) = E \psi(x, t),$$

有

$$\left[\frac{(\partial_x s)^2}{2m} + V(x) - E - \frac{i\hbar \partial_x^2 s}{2m} \right] e^{\frac{i}{\hbar} s} = 0.$$

将 $s(x)$ 按照 \hbar/i 展开，

$$s(x) = s_0(x) + \frac{\hbar}{i} s_1(x) + \left(\frac{\hbar}{i}\right)^2 s_2(x) + \dots$$

代入，在方程两边取 \hbar 的相同幂次，有

$$\hbar^0: \quad (\partial_x s_0)^2 + 2m(V(x) - E) = 0$$

$$\hbar^1: \quad \partial_x s_1 \partial_x s_0 + \frac{1}{2} \partial_x^2 s_0 = 0$$

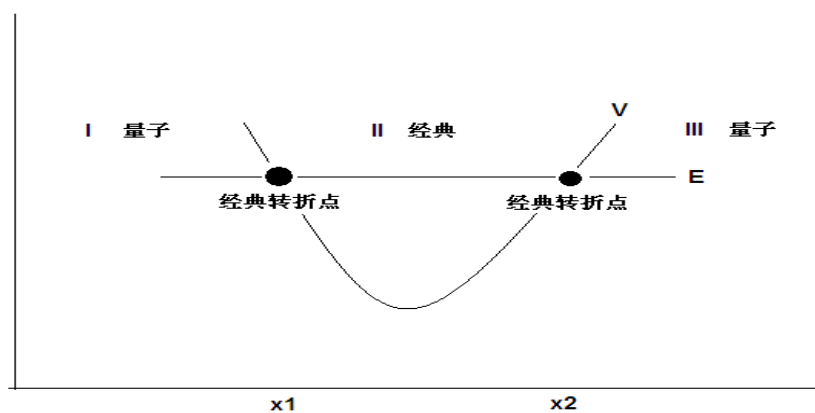
.....

解为

$$s_0(x) = \pm \int^x \sqrt{2m(E - V(x'))} dx' + C$$

$$s_1(x) = -\ln \sqrt{2m(E - V(x))} + \bar{C}$$

.....



精确到 \hbar^1 ，在经典区间， $E > V$ ，

$$\psi_{II}(x) = e^{\frac{i}{\hbar} \left(s_0(x) + \frac{\hbar}{i} s_1(x) \right)}$$

$$= \frac{C_1}{\sqrt{\sqrt{2m(E - V(x))}}} e^{\frac{i}{\hbar} \int^x \sqrt{2m(E - V(x'))} dx'} + \frac{C_2}{\sqrt{\sqrt{2m(E - V(x))}}} e^{-\frac{i}{\hbar} \int^x \sqrt{2m(E - V(x'))} dx'}$$

在非经典区间，即 $E < V$ 区间，

$$\psi_{I,III}(x) = \frac{C_3}{\sqrt{\sqrt{2m(V(x)-E)}}} e^{-\frac{1}{\hbar} \int^x \sqrt{2m(V(x)-E)} dx'} + \frac{C_4}{\sqrt{\sqrt{2m(V(x)-E)}}} e^{\frac{1}{\hbar} \int^x \sqrt{2m(V(x)-E)} dx'}$$

在 $E=V$ ，解是发散的，*WKB* 近似不能用了。

$$E - V(x) = 0 \rightarrow x_i$$

称为经典转折点。如何求解 x_i 附近的解？

在 x_i 附件将 $V(x)$ 展开至线性项，

$$V(x) = V(x_0) + \left. \frac{dV}{dx_0} \right| (x - x_0)$$

代入定态 *Schroedinger* 方程，有

$$\frac{d^2 \varphi}{dx^2} - \frac{2m}{\hbar^2} \frac{dV}{dx_0} (x - x_0) = 0,$$

求其精确解，是 $\pm 1/3$ 阶的 *Bessel* 函数。然后考虑 *Bessel* 函数在 $|x - x_0|$ 较大时的渐近解，并要求与 x_0 左右两边的经典区间解和非经典区间解连续。这样可以把经典区间解和非经典区间解中的常数 C_1, C_2, C_3, C_4 确定下来。